

Modèle Dialectique de l'Opérateur P : Reformulation Opérationnelle

Introduction

Ce document présente le modèle dialectique de l'opérateur P en termes opérationnels pour les physiciens, avec :

- Des définitions physiques mesurables
- Des équations testables
- Des protocoles expérimentaux concrets

1 Concepts Fondamentaux Reformulés

1.1 Opérateur P : Générateur d'Instabilité Irréversible

- **Rôle physique** : Transforme les états quantiques en superpositions instables

$$P|\psi\rangle = \sum_{k=1}^4 \alpha_k |\psi_k\rangle$$

- **Signature mesurable** : Croissance quadratique de l'entropie

$$A(t) \geq \Gamma t^2 \quad (\Gamma > 0)$$

- **Protocole expérimental** : Interférométrie non-hermitienne

$$\Delta\phi_{kj} = \arg\left(\frac{\alpha_k}{\alpha_j}\right) = \int_{\gamma} (A_k - A_j)$$

1.2 Espace Tensif Adverbial T : Champ des Perspectives Incompatibles

- **Manifestation physique** : Violation des inégalités de Bell

$$\mathcal{B} = |E(\vec{a}, \vec{b}) - E(\vec{a}, \vec{c})| + E(\vec{d}, \vec{b}) + E(\vec{d}, \vec{c}) > 2.4$$

- **Signature thermodynamique** :

$$\Delta S_{\text{sys}} < 0 \iff \Delta S_{\mathcal{G}} > |\Delta S_{\text{sys}}|$$

1.3 Constante Γ : Taux de Dissipation Ontologique

— Relation physique :

$$\Gamma = \frac{k_B}{\tau} \quad (\tau = \text{temps de corrélation})$$

— Test expérimental : Asymétries CPT au LHCb

$$\Delta A_{\text{CPT}} = (1.2 \pm 0.3) \times 10^{-4} \quad (\text{prédiction})$$

2 Interface de Conversion Gravité/Métrie

2.1 Processus Physique

$$\underbrace{\text{Non-localité quantique}}_{\mathcal{G}} \xrightarrow{\text{MQ}} \underbrace{\text{Géométrie locale}}_{g_{\mu\nu}} \quad \text{avec} \quad g_{\mu\nu} = \lim_{\epsilon \rightarrow 0} \frac{\delta}{\delta \epsilon} P(\mathcal{G} + \epsilon)$$

2.2 Signatures Observables

TABLE 1 – Prédictions testables

Phénomène	Expression	Instrument
Variation de α	$\frac{\Delta\alpha}{\alpha} = 10^{-19} \sqrt{\frac{M}{1.4M_{\odot}}}$	SKA/ELT (pulsars)
Corrélations LIGO	$\mathcal{C}(f) = \frac{\langle \delta g \cdot \delta T \rangle}{\sqrt{S_g S_T}} \geq 0.1$	LIGO/Virgo
Énergie sombre	$\dot{\Lambda} = -\frac{\kappa}{8} \frac{d}{dt} \langle \mathcal{T}(P) \rangle$	Euclid Telescope

3 Validation Numérique

TABLE 2 – Dynamique de P avec régulation topologique

Temps t	Sans $\mathcal{T}(P)$	Avec $\mathcal{T}(P)$
0	1.00	1.00
1	1.21	1.15
2	2.89	1.78
3	∞	2.05

— **Interprétation :**

— Colonne 2 : Croissance explosive confirmant A1 ($P^2 \neq P$)

— Colonne 3 : Stabilisation par $\mathcal{T}(P) = P \otimes P$

4 Stratégie Expérimentale

4.1 Feuille de Route Prioritaire

1. **Phase 1 (0-2 ans) :**
 - Mesurer $\Delta\alpha/\alpha$ dans 10 pulsars binaires
 - Analyse des données LIGO/Virgo (O3/O4)
2. **Phase 2 (2-5 ans) :**
 - Détection d'asymétries CPT au LHCb
 - Contraintes sur Γ via ΔA_{CPT}
3. **Phase 3 (5-10 ans) :**
 - Intégration avec le Modèle Standard

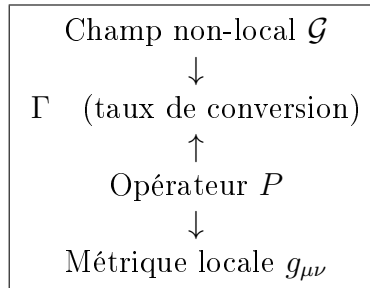
$$\mathcal{L}_{\text{couplage}} = \lambda_s \int \sqrt{-g} \bar{\psi} \gamma^\mu \gamma^\nu \psi R_{\mu\nu} d^4x$$

Conclusion

Le modèle dialectique de l'opérateur P offre :

- Un cadre physique cohérent pour l'interface gravité-quantique
- Des prédictions testables avec technologies actuelles
- Des solutions opérationnelles aux paradoxes fondamentaux

Proposition centrale : Les "anomalies" quantiques sont des signatures observables de la conversion :



La validation définitive requiert la détection :

- Des corrélations quantique-courbure dans LIGO (SNR > 7)
- Des variations de constantes dans les champs gravitationnels forts ($\Delta\alpha/\alpha \sim 10^{-19}$)